



EKO-CONNECT
LABORATORIUM BADAWCZE PÓL ELEKTROMAGNETYCZNYCH

EKO-Connect Sp. z o.o.
60-591 POZNAŃ, ul. MIODOWA 14A
Tel. 790 200 181
Tel. 790 004 761
e-mail: laboratorium@eko-connect.pl

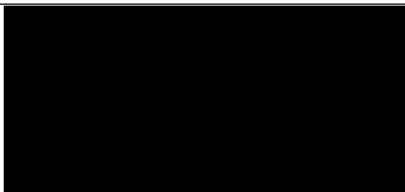

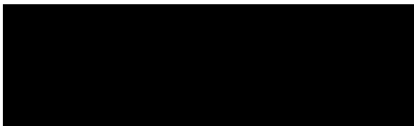


AB 1810

SPRAWOZDANIE NR OS/1081/24

Z POMIARÓW NATĘŻENIA PÓL ELEKTROMAGNETYCZNYCH

WYKONANYCH DLA CELÓW OCHRONY ŚRODOWISKA

Miejsce wykonania badania:	CZE7107A	
	42-217 Częstochowa, Słomińskiego 4 dz. nr 38, pow. Częstochowa, woj. ŚLĄSKIE	
Współrzędne geograficzne:	50°49'12.60"N 19°06'17.40"E	
Data wykonania pomiarów:	18.12.2024	
Data wydania sprawozdania:	18.12.2024	
Zleceniodawca:	P4 sp. z o.o. ul. Wynalazek 1 02-667 Warszawa	
Sprawozdanie wykonał:	Sprawdził:	Autoryzował:
		

1. INFORMACJE O UŻYTKOWNIKU ¹

- Zleceniodawca: P4 sp. z o.o. ul. Wynalazek 1, 02-667 Warszawa
- Typ obiekt: Instalacja radiokomunikacyjna zainstalowana na pylonie reklamowym
- Numer obiektu: CZE7107A
- Adres obiektu: 42-217 Częstochowa, Słomińskiego 4 dz. nr 38, pow. Częstochowa, woj. ŚLĄSKIE
- Współrzędne geograficzne: 50°49'12.60"N 19°06'17.40"E

2. CHARAKTERYSTYKA ŹRÓDEŁ PEM ¹

Tabela 1. Parametry systemu nadawczo-odbiorczego

Charakterystyka promieniowania				kierunkowa					
Rzeczywisty czas pracy [h/dobę]				Całodobowa 24h					
Warunki pracy				Znamionowe					
Rodzaj wytwarzanego pola				stacjonarne					
Lp.	Typ nadajnika	Antena Producent / Typ	Azymut [°]	Wysokość środka elektr. anteny [m n.p.t.]	Pasma [Mhz]	Kąt nachylenia [°]	EIRP dla anteny [W]	LON	LAT
1	DBS3xxx/5xxx	Huawei	0	25,8	800	0 - 10	1959	19°06'17.40"E	50°49'12.60"N
	DBS3xxx/5xxx	ATR4518R6			2600	0 - 10		19°06'17.40"E	50°49'12.60"N
2	DBS3xxx/5xxx	Huawei ATR4518R6	0	25,8	900	0 - 10	1806	19°06'17.40"E	50°49'12.60"N
	DBS3xxx/5xxx				1800	0 - 10		19°06'17.40"E	50°49'12.60"N
	DBS3xxx/5xxx				2100	0 - 10		19°06'17.40"E	50°49'12.60"N
3	DBS3xxx/5xxx	Huawei ATR4518R6	120	25,8	800	0 - 10	1959	19°06'17.40"E	50°49'12.60"N
	DBS3xxx/5xxx				2600	0 - 10		19°06'17.40"E	50°49'12.60"N
4	DBS3xxx/5xxx	Huawei ATR4518R6	120	25,8	900	0 - 10	1806	19°06'17.40"E	50°49'12.60"N
	DBS3xxx/5xxx				1800	0 - 10		19°06'17.40"E	50°49'12.60"N
	DBS3xxx/5xxx				2100	0 - 10		19°06'17.40"E	50°49'12.60"N
5	DBS3xxx/5xxx	Huawei ATR4518R6	233	25,8	800	0 - 10	1959	19°06'17.40"E	50°49'12.60"N
	DBS3xxx/5xxx				2600	0 - 10		19°06'17.40"E	50°49'12.60"N
6	DBS3xxx/5xxx	Huawei ATR4518R6	233	25,8	900	0 - 10	1806	19°06'17.40"E	50°49'12.60"N
	DBS3xxx/5xxx				1800	0 - 10		19°06'17.40"E	50°49'12.60"N
	DBS3xxx/5xxx				2100	0 - 10		19°06'17.40"E	50°49'12.60"N

¹ Dane pozyskane od Klienta

Tabela 2. Parametry radiolinii

Charakterystyka promieniowania				kierunkowa					
Rzeczywisty czas pracy [h/dobę]				24					
Rodzaj wytwarzanego pola				stacjonarne					
Linia radiowa				Antena					
Lp.	Typ nadajnika	Częstotliwość pracy [GHz]	Moc wyjściowa [dBm]	Typ/producent	Średnica anteny [m]	Azymut [°]	Wysokość zainstal. [m]	LON	LAT
1	OPTIX RTN/HUAWEI	80	19	0.3-80(VHLP1-80)	0,3	181	27	19°06'17.40"E	50°49'12.60"N

Inne źródła PEM: W obszarze pomiarowym badanego obiektu **nie występują** inne źródła promieniowania pola elektromagnetycznego, które w zakresie badanych częstotliwości bezpośrednio wpływają na wynik wartości mierzonej natężenia pola.

3. OPIS POMIARÓW

Cel badań: Sprawdzenie dotrzymania dopuszczalnych poziomów pól elektromagnetycznych, w otoczeniu instalacji wytwarzających takie pola.

3.1. Data oraz warunki pomiarów

Data pomiarów	Godzina		Opady	Temperatura [C]		Wilgotność [%]	
	rozpoczęcia pomiarów	zakończenia pomiarów		Minimalna	Maksymalna	Minimalna	Maksymalna
18.12.2024	15:10	16:00	Brak	7,4	7,5	60,4	60,5

3.2. Aparatura pomiarowa:

Tabela 3. Opis zestawu pomiarowego

Nazwa	Typ/model	Numer fabryczny/SN	Świadectwo wzorcowania	Zastosowanie
Szerokopasmowy miernik natężenia pola elektromagnetycznego	NBM- 520	D-2225	LWiMP/W/158/24 z dnia 16.05.2024 (Laboratorium Wzorców i Metrologii Pola Elektromagnetycznego Instytutu Telekomunikacji, Teleinformatyki i Akustyki Politechniki Wrocławskiej)	Pomiary pola elektromagnetycznego
Sonda pomiarowa pola elektrycznego	EF-9091	A-0136		
Szerokopasmowy miernik natężenia pola elektromagnetycznego	NBM- 520	D-2188		
Sonda pomiarowa pola elektrycznego	EF-0691	J-0214		
Termohigrometr	Termioplus - S	SN 450823	587/2024 z dnia 01.03.2024 (Instytut Energetyki - Państwowy Instytut Badawczy)	Pomiary wilgotności względnej powietrza Pomiary temperatury powietrza
Odbiornik GPS	Garmin GLO2	1792A-A1156/SPS056463	-	Pomiar współrzędnych geograficznych

3.3. Wyznaczenie niepewności pomiarów:

Ocenę niepewności przyjmuje się zgodnie z procedurą stosowaną w laboratorium.

Wyznaczona rozszerzona niepewność pomiaru dla współczynnika rozszerzenia $k = 2$ dla zestawu pomiarowego z pkt.3.2 w dniu pomiaru wynosi 58,67%.

3.4. Kryteria przedstawiania stwierdzeń zgodności

Niniejsze sprawozdanie zgodnie z zasadami systemu akredytacji zawiera stwierdzenia zgodności.

W przypadku badań poziomów pola elektromagnetycznego w środowisku stwierdzenie zgodności dotyczy rozstrzygnięcia, czy zmierzona wartość opisująca pole elektromagnetyczne przekracza wartość dopuszczalną dla zakresu częstotliwości, w którym pracują źródła podaną w Rozporządzeniu Ministra Zdrowia z dnia 17 grudnia 2019 r. w sprawie dopuszczalnych poziomów pól elektromagnetycznych w środowisku (Dz. U. z 2019 r. poz. 2448).

3.5. Metodyka wykonania pomiarów:

Zastosowano metodę znormalizowaną w oparciu o Rozporządzenie Ministra Klimatu i Środowiska z dnia 6 maja 2022 r. zmieniające rozporządzenie w sprawie sposobów sprawdzania dotrzymania dopuszczalnych poziomów pól elektromagnetycznych w środowisku (Dz.U. 2022 poz. 1121).

3.6. Przepisy prawne:

- Ustawa z dnia 27 kwietnia 2001 r. Prawo ochrony środowiska (Dz.U. 2024 r. poz. 834).
- Rozporządzenie Ministra Zdrowia z dnia 17 grudnia 2019 r. w sprawie dopuszczalnych poziomów pól elektromagnetycznych w środowisku (Dz. U. z 2019 r. poz. 2448).
- Rozporządzenie Ministra Klimatu z dnia 17 lutego 2020 r. w sprawie sposobów sprawdzania dotrzymania dopuszczalnych poziomów pól elektromagnetycznych w środowisku Załącznik do obwieszczenia Ministra Klimatu i Środowiska z dnia 21 listopada 2022 r. (Dz. U. poz. 2630).

3.7. Opis pomiarów

Stacja bazowa CZE7107A usytuowana jest na pylonie reklamowym zlokalizowanym pod adresem 42-217 Częstochowa, Słomińskiego 4 dz. nr 38, pow. Częstochowa, woj. ŚLĄSKIE. Anteny i moduły RRU zamontowane są na antenowych konstrukcjach wsporczych a urządzenia są w szafie APM zainstalowanej u podnóża pylonu. W otoczeniu stacji zlokalizowana jest zabudowa jednorodzinna, wielorodzinna, handlowo-usługowa oraz użyteczności publicznej. Analiza parametrów technicznych wykazała, że urządzenia nadawcze stacji pracują w paśmie częstotliwości zgodnie z tabelą 1 oraz tabelą 2. Moc wyjściowa nadajników doprowadzona jest do anten przy pomocy ekranowanych fiderów.

Pomiary w otoczeniu stacji bazowej wykonano wzdłuż kierunków maksymalnego zasięgu oddziaływania pola elektromagnetycznego na kierunkach osi głównych wiązek anten sektorowych do odległości określonej zgodnie z wytycznymi zawartymi w instrukcji wykonywania pomiarów, podczas rzeczywistej pracy urządzeń wytwarzających pola elektromagnetyczne.

Pomiary wykonano dla średniego pochylecia wiązki liczonego jako średnia arytmetyczna z minimalnej i maksymalnej wartości stosowanego lub planowanego kąta pochylecia. Średnie wartości tilt ustawiane są przez Klienta. W przypadku, gdy na danym azymucie zainstalowano kilka anten, średnia wartości tilt ustawiona jest jednakowa dla wszystkich anten. Przyjmuje się najgorszą wartość spośród anten zainstalowanych na danym kierunku.

Pomiary w przyjętych pionach pomiarowych wykonano w punktach położonych na wysokościach od 0,3 m do 2,0 m nad powierzchnią ziemi lub nad innymi powierzchniami, na których mogą przebywać ludzie, przyjmując za wynik pomiaru maksymalny poziom natężenie pól elektromagnetycznego.

Pomiary wykonano w dodatkowych pionach pomiarowych w lokalach oraz na balkonach i tarasach, na których mogą przebywać ludzie, po poinformowaniu o planowanych pomiarach z minimum 3-dniowym wyprzedzeniem i po umożliwieniu dostępu do lokalu, balkonu lub tarasu przez jego dysponenta lub bez zachowania terminu wskazanego w pierwszej części zdania za zgodą dysponenta przestrzeni pomiarowej.

Punkty pomiarowe wewnątrz budynków oraz na tarasach/balkonach wyznaczono na podstawie przeprowadzonych obliczeń rozkładu pola elektromagnetycznego. Jako wartość graniczną do wyznaczenia odległości zasięgu pola elektromagnetycznego przyjęto wartość 9 V/m. Jest to wartość wypadkowa po uwzględnieniu współczynników odpowiadającym emisji z obcych źródeł promieniowania elektromagnetycznego oraz efekt odbicia fal radiowych. Obliczenia te wykonywane są uwzględniając parametry systemu antenowego dostarczone przez Klienta, W tym obszarze pomiary w budynkach wykonywane są obligatoryjnie. Jeżeli w ww. obszarze nie zlokalizowano żadnych budynków dodatkowo wyznaczono reprezentatywne budynki, wewnątrz których wykonano dodatkowe pomocnicze punkty pomiarowe.

Przy doborze pionów pomiarowych uwzględniono charakter i sposób zagospodarowania terenu otaczającego stację bazową.

3.8. Sposób identyfikacji widma częstotliwości:

Parametry stacji bazowej uzyskane od właściciela instalacji stacji bazowej.

4. WYNIKI POMIARÓW

Wyniki pomiarów ważne są jedynie dla danej konfiguracji urządzeń w dniu, w którym wykonano pomiary.

Wynik pomiaru, to maksymalna wartości chwilowa zmierzona w danym pionie pomiarowym powiększona o rozszerzoną niepewność pomiaru U dla współczynnika rozszerzenia $k = 2$ (dla poziomu ufności 95%).

Tabela 4. Dopuszczalne poziomy pól elektromagnetycznych

Parametr fizyczny	Składowa elektryczna	Składowa magnetyczna
Zakres częstotliwości pola elektromagnetycznego		
od 400 MHz do 2000 MHz	$1,375 \times f^{0,5}$ V/m	$0,00375 \times f^{0,5}$ A/m
Od 2 GHz do 300 GHz	61 V/m	0,16 A/m

Do wyznaczania wartości wskaźnikowych WM_E i WM_H przyjęto najniższe wartości dopuszczalne poziomów pól elektromagnetycznych w/w zakresów częstotliwości.

Tabela 5. Wyniki pomiarów

Nr pionu	Opis miejsca pomiaru	Pomiar wewnątrz pomieszczenia	Współrzędne geograficzne		Wynik poniżej progu detekcji*	E_p [V/m]	U [V/m]	$E_p + U$ [V/m]	H [A/m]	WM_E	WM_H	Przekroczenie wartości dopuszczalnej
			[°] E	[°] N								
1	Poziom gruntu - Główny kierunek pomiarowy anteny sektorowej azymut 120st	NIE	19,105072752	50,820052985	NIE	1,20	0,71	1,91	0,005	0,07	0,068	nie przekracza
2	Poziom gruntu - Główny kierunek pomiarowy anteny sektorowej azymut 120st	NIE	19,105358488	50,819960042	NIE	1,01	0,60	1,61	0,004	0,06	0,058	nie przekracza
3	Poziom gruntu - Główny kierunek pomiarowy anteny sektorowej azymut 120st	NIE	19,105777931	50,819801788	TAK	<0,80	0,47	1,27	0,003	0,05	0,046	nie przekracza
4	Poziom gruntu - Główny kierunek pomiarowy anteny sektorowej azymut 120st	NIE	19,106464236	50,819545816	TAK	<0,80	0,47	1,27	0,003	0,05	0,046	nie przekracza
5	Poziom gruntu - Główny kierunek pomiarowy anteny sektorowej azymut 120st	NIE	19,106882817	50,819402265	TAK	<0,80	0,47	1,27	0,003	0,05	0,046	nie przekracza
6	Poziom gruntu - Główny kierunek pomiarowy anteny sektorowej azymut 0st	NIE	19,104865495	50,820277693	NIE	1,22	0,72	1,94	0,005	0,07	0,070	nie przekracza
7	Poziom gruntu - Główny kierunek pomiarowy anteny sektorowej azymut 0st	NIE	19,104870906	50,820466656	NIE	1,24	0,73	1,97	0,005	0,07	0,071	nie przekracza
8	Poziom gruntu - Główny kierunek pomiarowy anteny sektorowej azymut 0st	NIE	19,104870292	50,821017560	TAK	<0,80	0,47	1,27	0,003	0,05	0,046	nie przekracza
9	Poziom gruntu - Główny kierunek pomiarowy anteny	NIE	19,104875909	50,821414421	TAK	<0,80	0,47	1,27	0,003	0,05	0,046	nie przekracza

Nr pionu	Opis miejsca pomiaru	Pomiar wewnątrz pomieszczenia	Współrzędne geograficzne		Wynik poniżej progu detekcji*	E_p [V/m]	U [V/m]	$E_p + U$ [V/m]	H [A/m]	WM _E	WM _H	Przekroczenie wartości dopuszczalnej
			[°] E	[°] N								
	sektorowej azymut 0st											
10	Poziom gruntu - Główny kierunek pomiarowy anteny sektorowej azymut 0st	NIE	19,104872453	50,821732244	TAK	<0,80	0,47	1,27	0,003	0,05	0,046	nie przekracza
11	Poziom gruntu - Główny kierunek pomiarowy anteny sektorowej azymut 233st	NIE	19,104704802	50,820054786	NIE	1,05	0,62	1,67	0,004	0,06	0,060	nie przekracza
12	Poziom gruntu - Główny kierunek pomiarowy anteny sektorowej azymut 233st	NIE	19,103925012	50,819684883	TAK	<0,80	0,47	1,27	0,003	0,05	0,046	nie przekracza
13	Poziom gruntu - Główny kierunek pomiarowy anteny sektorowej azymut 233st	NIE	19,102860157	50,819185308	TAK	<0,80	0,47	1,27	0,003	0,05	0,046	nie przekracza
14	Poziom gruntu - Główny kierunek pomiarowy anteny radioliniowej azymut 181st	NIE	19,104852542	50,819804560	TAK	<0,80	0,47	1,27	0,003	0,05	0,046	nie przekracza
15	Poziom gruntu - Główny kierunek pomiarowy anteny radioliniowej azymut 181st	NIE	19,104855980	50,819246728	TAK	<0,80	0,47	1,27	0,003	0,05	0,046	nie przekracza

Objaśnienia:

$$E_p: E_{poprawne} = E_{wskazane} * C_{d(E)} * C_{f(f)}$$

$E_{wskazane}$ - zmierzona maksymalna wartość chwilowa natężenia pola elektrycznego

$C_{d(E)}$ – charakterystyka dynamiczna sondy – zgodna ze świadectwem wzorcowania

$C_{f(f)}$ – charakterystyka częstotliwościowa sondy – zgodna ze świadectwem wzorcowania

H – wyznaczona wartość natężenia pola magnetycznego z uwzględnieniem współczynnika korekcyjnego oraz rozszerzonej niepewności pomiaru.

WM_E - wartość wskaźnikowa poziomu oddziaływania pól elektromagnetycznych dla miejsc dostępnych dla ludności dla składowej elektrycznej pola.

WM_H - wartość wskaźnikowa poziomu oddziaływania pól elektromagnetycznych dla miejsc dostępnych dla ludności dla składowej magnetycznej pola.

* Wynik poniżej progu detekcji - wartość zmierzona poniżej zakresu akredytacji. Do obliczeń przyjęto wartość zgodną z dolną granicą akredytowanego zakresu pomiarowego metody.

Piony pomiarowe wewnątrz budynków oraz na tarasach/balkonach wyznaczono na podstawie przeprowadzonych obliczeń rozkładu pola elektromagnetycznego zgodnie z wewnętrznymi procedurami laboratorium.

**** - Brak dostępu**

5. WNIOSKI

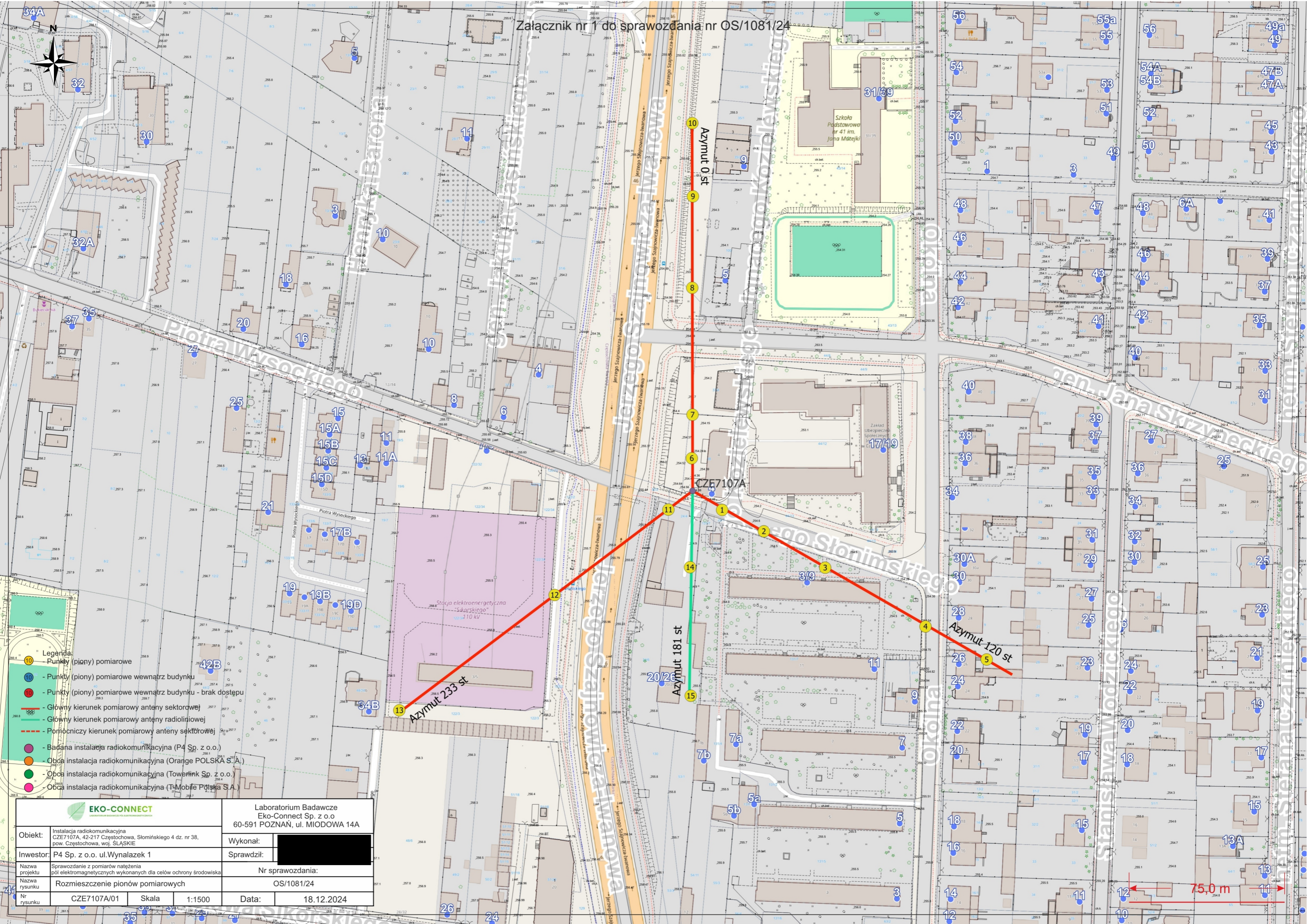
Stwierdza się, iż na podstawie uzyskanych wyników pomiarów i informacji uzyskanych od operatora, w otoczeniu stacji bazowej telefonii komórkowej CZE7107A w miejscach dostępnych dla ludności, w których dokonano pomiaru, nie zostały przekroczone wartości graniczne poziomów pól elektromagnetycznych określonych w Rozporządzeniu Ministra Zdrowia z dnia 17 grudnia 2019 r. w sprawie dopuszczalnych poziomów pól elektromagnetycznych w środowisku (Dz. U. z 2019 r. poz. 2448).

Stwierdzenie zgodności zostało przedstawione na podstawie wyników badań oraz informacji uzyskanych od Klienta (za które Laboratorium nie ponosi odpowiedzialności) dla instalacji opisanej w punkcie 2. Stwierdzenia zgodności dokonano na podstawie zasady podejmowania decyzji i wymagań zawartych w załączniku do Rozporządzenia Ministra Klimatu z dnia 17 lutego 2020 r. w sprawie sposobów sprawdzania dotrzymania dopuszczalnych poziomów pól elektromagnetycznych w środowisku (Dz.U. 2022 poz. 2630 z 15.12.2022r.).

- Sprawozdanie zawiera 9 stron
- Załączniki: nr 1 – mapa z rozmieszczeniem pionów pomiarowych wokół obiektu
- Otrzymują:
 1. Zleceniodawca: - 1 egz.
 2. a / a: 1 egz.

Bez pisemnego zezwolenia laboratorium Eko-Connect Sp. z o.o. sprawozdanie nie może być powielane inaczej, jak tylko w całości.

KONIEC SPRAWOZDANIA



- Legenda**
- Punkty (piony) pomiarowe
 - Punkty (piony) pomiarowe wewnątrz budynku
 - Punkty (piony) pomiarowe wewnątrz budynku - brak dostępu
 - Główny kierunek pomiarowy anteny sektorowej
 - Główny kierunek pomiarowy anteny radioliniowej
 - - - Pomocniczy kierunek pomiarowy anteny sektorowej
 - Badana instalacja radiokomunikacyjna (P4 Sp. z o.o.)
 - Obca instalacja radiokomunikacyjna (Orange POLSKA S.A.)
 - Obca instalacja radiokomunikacyjna (Towerlink Sp. z o.o.)
 - Obca instalacja radiokomunikacyjna (T-Mobile Polska S.A.)

		Laboratorium Badawcze Eko-Connect Sp. z o.o 60-591 POZNAŃ, ul. MIODOWA 14A	
Obiekt: Instalacja radiokomunikacyjna CZE7107A, 42-217 Częstochowa, Słomńskiego 4 dz. nr 38, pow. Częstochowa, woj. ŚLĄSKIE	Wykonał: XXXXXXXXXX	Nr sprawozdania: OS/1081/24	
Inwestor: P4 Sp. z o.o. ul. Wyzwałek 1	Sprawdził: XXXXXXXXXX	Data: 18.12.2024	
Nazwa projektu: Sprawozdanie z pomiarów natężenia pól elektromagnetycznych wykonanych dla celów ochrony środowiska	Nazwa rysunku: Rozmieszczenie pionów pomiarowych		
Nr rysunku: CZE7107A/01	Skala: 1:1500	Data: 18.12.2024	

75,0 m